

Eingabe: Farbmimetrisches Offset-Reflektiv-System ORS18

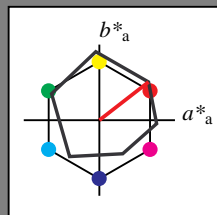
für Buntton  $h^* = lab^*h = 38/360 = 0.105$

$lab^*tch$  und  $lab^*nch$

D50: Buntton O

LCH\*Ma: 48 82 38

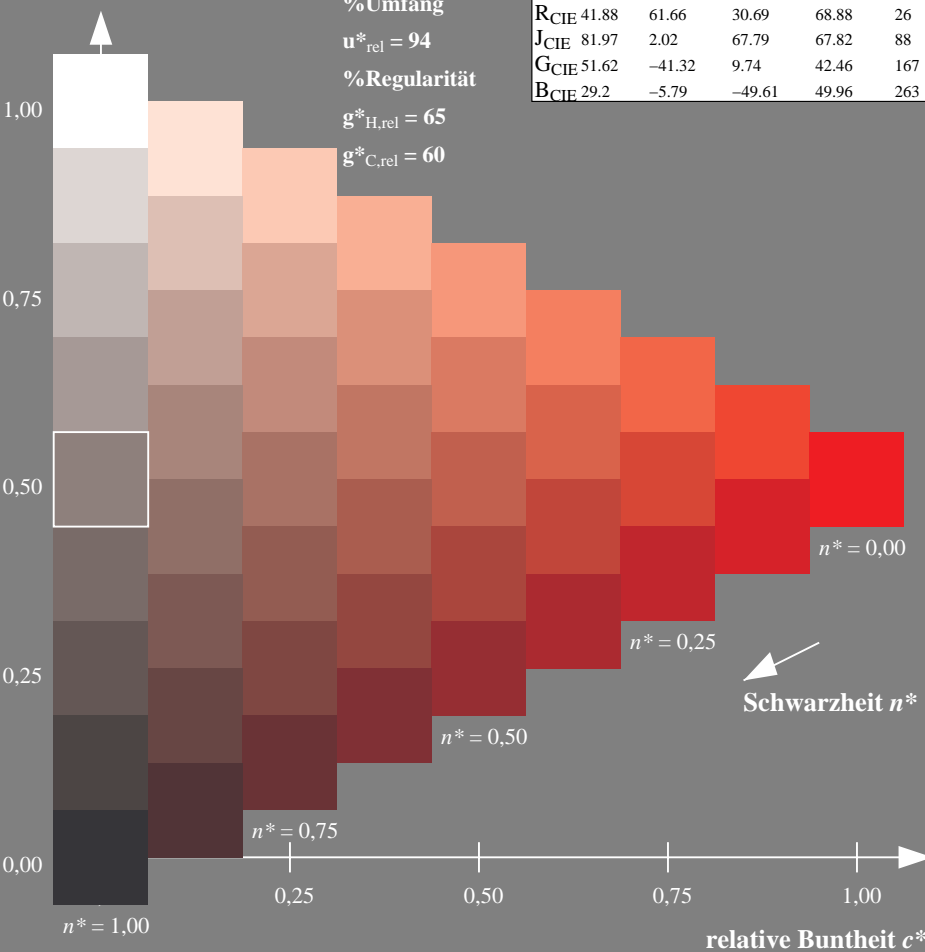
olv\*Ma: 1.0 0.0 0.0



ORS18; adaptierte CIELAB-Daten

	$L^*=L^*_a$	$a^*_a$	$b^*_a$	$C^*_{ab,a}$	$h^*_{ab,a}$
O <sub>Ma</sub>	47.94	65.05	50.54	82.38	38
Y <sub>Ma</sub>	91.0	-4.72	90.58	90.7	93
L <sub>Ma</sub>	50.9	-63.18	34.98	72.22	151
C <sub>Ma</sub>	56.99	-39.34	-48.1	62.16	231
V <sub>Ma</sub>	25.72	30.89	-44.4	54.09	305
M <sub>Ma</sub>	49.99	75.76	-4.64	75.9	356
N <sub>Ma</sub>	18.09	0.0	0.0	0.0	0
W <sub>Ma</sub>	95.46	0.0	0.0	0.0	0
R <sub>CIE</sub>	41.88	61.66	30.69	68.88	26
J <sub>CIE</sub>	81.97	2.02	67.79	67.82	88
G <sub>CIE</sub>	51.62	-41.32	9.74	42.46	167
B <sub>CIE</sub>	29.2	-5.79	-49.61	49.96	263

Dreiecks-Helligkeit  $t^*$



Ausgabe: Farbmimetrisches Fernseh-Licht-System TLS00

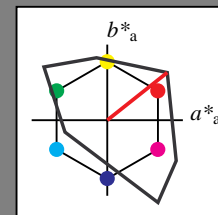
für Buntton  $h^* = lab^*h = 38/360 = 0.107$

$lab^*tch$  und  $lab^*nch$

D50: Buntton O

LCH\*Ma: 54 101 38

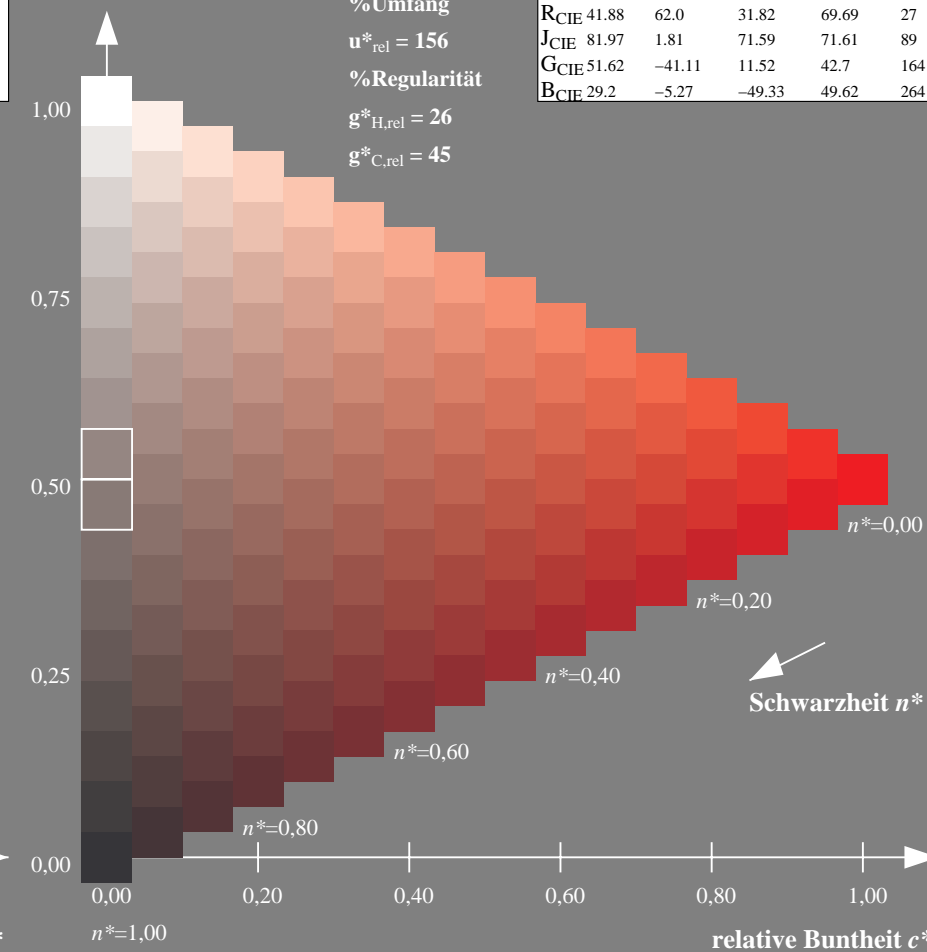
olv\*Ma: 1.0 0.0 0.0



TLS00; adaptierte CIELAB-Daten

	$L^*=L^*_a$	$a^*_a$	$b^*_a$	$C^*_{ab,a}$	$h^*_{ab,a}$
O <sub>Ma</sub>	54.19	79.36	63.0	101.33	38
Y <sub>Ma</sub>	93.44	-14.18	82.59	83.8	100
L <sub>Ma</sub>	82.82	-83.73	70.41	109.41	140
C <sub>Ma</sub>	85.22	-55.9	-15.78	58.1	196
V <sub>Ma</sub>	25.61	67.05	-108.87	127.87	302
M <sub>Ma</sub>	58.76	91.18	-53.69	105.82	330
N <sub>Ma</sub>	0.01	0.0	0.0	0.0	0
W <sub>Ma</sub>	95.41	0.0	0.0	0.0	0
R <sub>CIE</sub>	41.88	62.0	31.82	69.69	27
J <sub>CIE</sub>	81.97	1.81	71.59	71.61	89
G <sub>CIE</sub>	51.62	-41.11	11.52	42.7	164
B <sub>CIE</sub>	29.2	-5.27	-49.33	49.62	264

Dreiecks-Helligkeit  $t^*$



QG900-7, 9stufige Reihen für konstanten CIELAB Buntton 38/360 = 0.105 (links)

16stufige Reihen für konstanten CIELAB Buntton 38/360 = 0.107 (rechts)

BAM-Prüfvorlage QG90; Farbmimetrik-Systeme ORS18 & TLS00 input:  $cmY^*_0$  setcmykcolor

D50: 9 und 16stufige Farbreihen für 10 Bunttöne

output: no change compared to input

Siehe ähnliche Dateien: <http://www.ps.bam.de/QG90/>  
 Technische Information: <http://www.ps.bam.de> Version 2.1, io=0,0

BAM-Registrierung: 20060101-QG90/10Q/Q90G00NP.PS/.PDF BAM-Material: Code=rh4ta  
 Anwendung für Beurteilung und Messung von Drucker- oder Monitorssystemen  
 /QG90/ Form: 1/10, Serie: 1/1, Seite: 1  
 Seitenzahl: 1

Eingabe: Farbmétrisches Offset-Reflektiv-System ORS18

für Buntton  $h^* = lab^*h = 93/360 = 0.258$

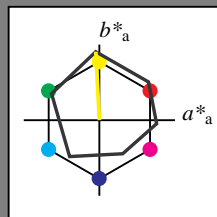
$lab^*tch$  und  $lab^*nch$

D50: Buntton Y

LCH\*Ma: 91 91 93

olv\*Ma: 1.0 1.0 0.0

Dreiecks-Helligkeit  $t^*$



%Umfang

$u^*_{rel} = 94$

%Regularität

$g^*_{H,rel} = 65$

$g^*_{C,rel} = 60$

ORS18; adaptierte CIELAB-Daten

	$L^*=L^*_a$	$a^*_a$	$b^*_a$	$C^*_{ab,a}$	$h^*_{ab,a}$
O <sub>Ma</sub>	47.94	65.05	50.54	82.38	38
Y <sub>Ma</sub>	91.0	-4.72	90.58	90.7	93
L <sub>Ma</sub>	50.9	-63.18	34.98	72.22	151
C <sub>Ma</sub>	56.99	-39.34	-48.1	62.16	231
V <sub>Ma</sub>	25.72	30.89	-44.4	54.09	305
M <sub>Ma</sub>	49.99	75.76	-4.64	75.9	356
N <sub>Ma</sub>	18.09	0.0	0.0	0.0	0
W <sub>Ma</sub>	95.46	0.0	0.0	0.0	0
R <sub>CIE</sub>	41.88	61.66	30.69	68.88	26
J <sub>CIE</sub>	81.97	2.02	67.79	67.82	88
G <sub>CIE</sub>	51.62	-41.32	9.74	42.46	167
B <sub>CIE</sub>	29.2	-5.79	-49.61	49.96	263

Ausgabe: Farbmétrisches Fernseh-Licht-System TLS00

für Buntton  $h^* = lab^*h = 100/360 = 0.277$

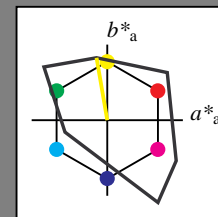
$lab^*tch$  und  $lab^*nch$

D50: Buntton Y

LCH\*Ma: 93 84 100

olv\*Ma: 1.0 1.0 0.0

Dreiecks-Helligkeit  $t^*$



%Umfang

$u^*_{rel} = 156$

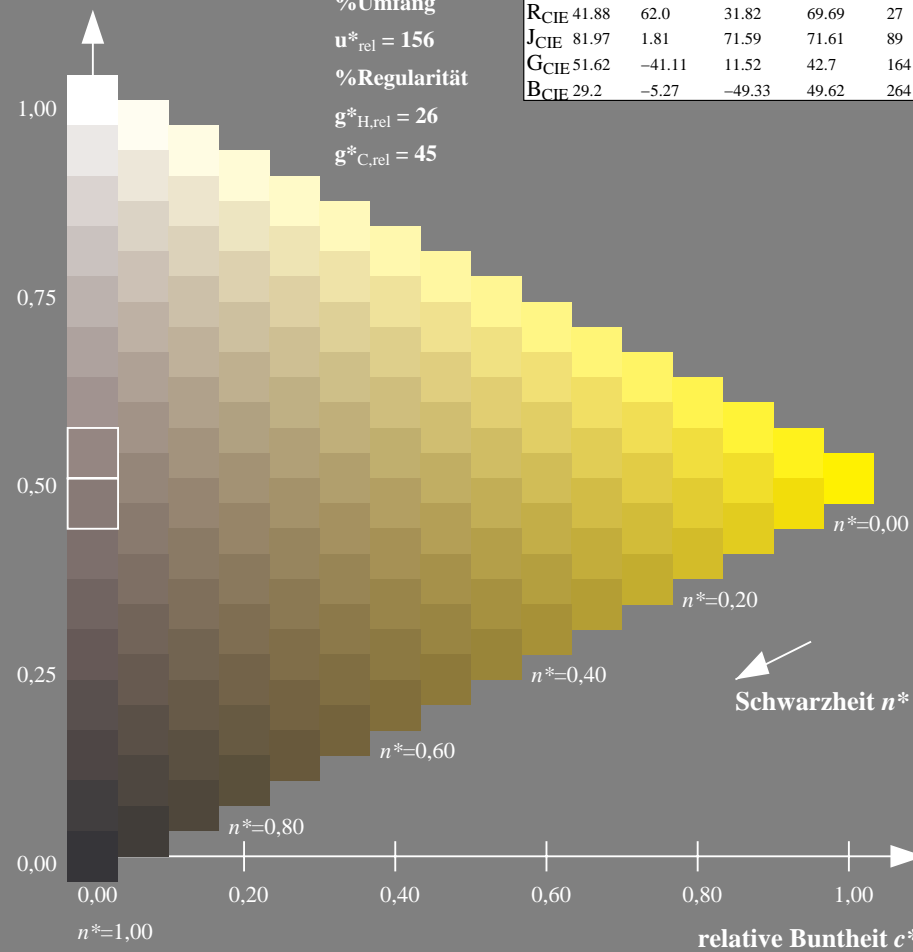
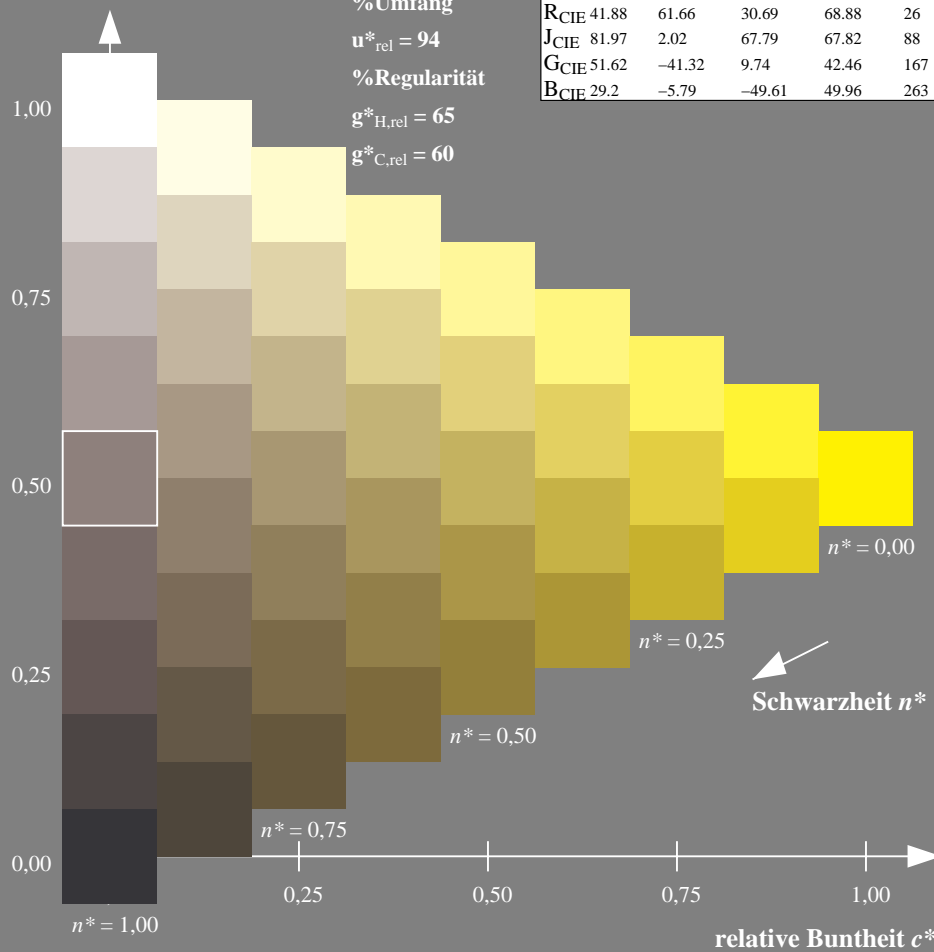
%Regularität

$g^*_{H,rel} = 26$

$g^*_{C,rel} = 45$

TLS00; adaptierte CIELAB-Daten

	$L^*=L^*_a$	$a^*_a$	$b^*_a$	$C^*_{ab,a}$	$h^*_{ab,a}$
O <sub>Ma</sub>	54.19	79.36	63.0	101.33	38
Y <sub>Ma</sub>	93.44	-14.18	82.59	83.8	100
L <sub>Ma</sub>	82.82	-83.73	70.41	109.41	140
C <sub>Ma</sub>	85.22	-55.9	-15.78	58.1	196
V <sub>Ma</sub>	25.61	67.05	-108.87	127.87	302
M <sub>Ma</sub>	58.76	91.18	-53.69	105.82	330
N <sub>Ma</sub>	0.01	0.0	0.0	0.0	0
W <sub>Ma</sub>	95.41	0.0	0.0	0.0	0
R <sub>CIE</sub>	41.88	62.0	31.82	69.69	27
J <sub>CIE</sub>	81.97	1.81	71.59	71.61	89
G <sub>CIE</sub>	51.62	-41.11	11.52	42.7	164
B <sub>CIE</sub>	29.2	-5.27	-49.33	49.62	264



QG900-7, 9stufige Reihen für konstanten CIELAB Buntton 93/360 = 0.258 (links)

16stufige Reihen für konstanten CIELAB Buntton 100/360 = 0.277 (rechts)

BAM-Prüfvorlage QG90; Farbmétrik-Systeme ORS18 & TLS00 input: *cmY0\** *setcmykcolor*

D50: 9 und 16stufige Farbreihen für 10 Bunttöne

output: *no change compared to input*

Siehe ähnliche Dateien: <http://www.ps.bam.de/QG90/>  
 Technische Information: <http://www.ps.bam.de> Version 2.1, io=0,0

BAM-Registrierung: 20060101-QG90/10Q/Q90G01NP.PS/.PDF BAM-Material: Code=rh4ta  
 Anwendung für Beurteilung und Messung von Drucker- oder Monitorssystemen  
 /QG90/ Form: 2/10, Serie: 1/1, Seite: 2  
 Seitenhang 2

Eingabe: Farbmetrisches Offset-Reflektiv-System ORS18

für Buntton  $h^* = lab^*h = 151/360 = 0.42$

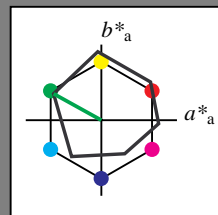
$lab^*tch$  und  $lab^*nch$

D50: Buntton L

LCH\*Ma: 51 72 151

olv\*Ma: 0.0 1.0 0.0

Dreiecks-Helligkeit  $t^*$



ORS18; adaptierte CIELAB-Daten

	$L^*=L^*_a$	$a^*_a$	$b^*_a$	$C^*_{ab,a}$	$h^*_{ab,a}$
O <sub>Ma</sub>	47.94	65.05	50.54	82.38	38
Y <sub>Ma</sub>	91.0	-4.72	90.58	90.7	93
L <sub>Ma</sub>	50.9	-63.18	34.98	72.22	151
C <sub>Ma</sub>	56.99	-39.34	-48.1	62.16	231
V <sub>Ma</sub>	25.72	30.89	-44.4	54.09	305
M <sub>Ma</sub>	49.99	75.76	-4.64	75.9	356
N <sub>Ma</sub>	18.09	0.0	0.0	0.0	0
W <sub>Ma</sub>	95.46	0.0	0.0	0.0	0
R <sub>CIE</sub>	41.88	61.66	30.69	68.88	26
J <sub>CIE</sub>	81.97	2.02	67.79	67.82	88
G <sub>CIE</sub>	51.62	-41.32	9.74	42.46	167
B <sub>CIE</sub>	29.2	-5.79	-49.61	49.96	263

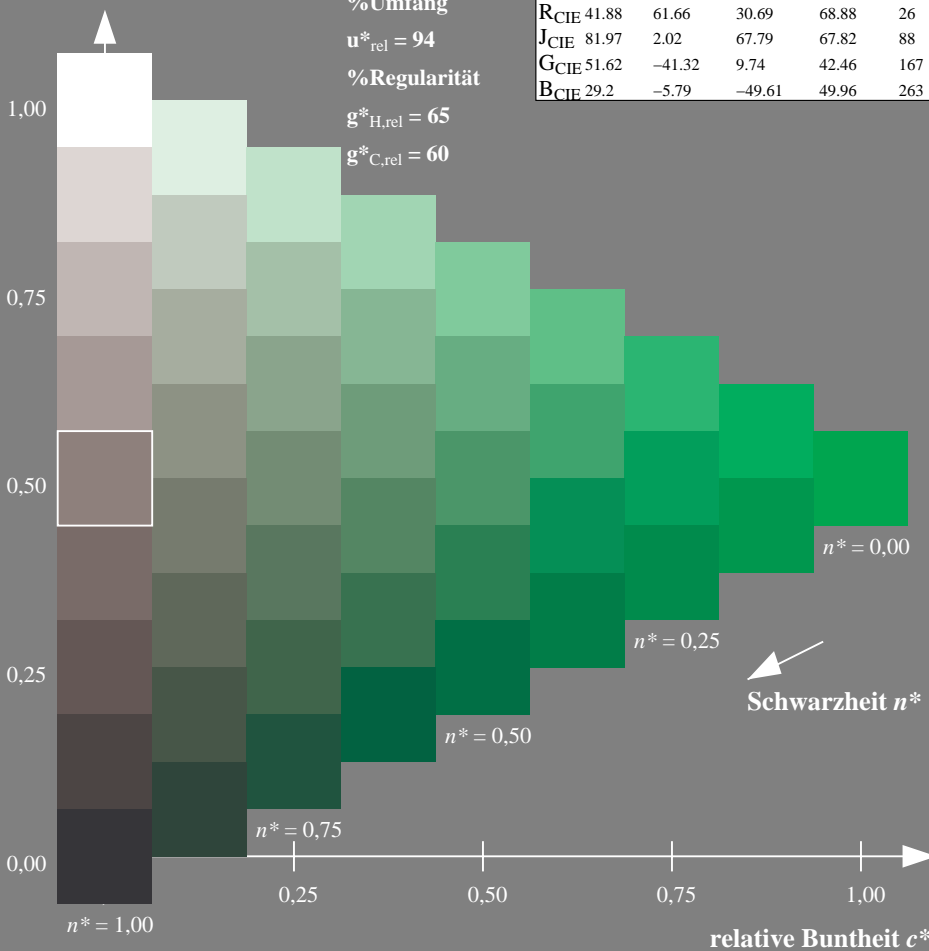
%Umfang

$u^*_{rel} = 94$

%Regularität

$g^*_{H,rel} = 65$

$g^*_{C,rel} = 60$



Ausgabe: Farbmetrisches Fernseh-Licht-System TLS00

für Buntton  $h^* = lab^*h = 140/360 = 0.389$

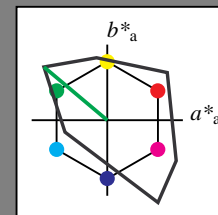
$lab^*tch$  und  $lab^*nch$

D50: Buntton L

LCH\*Ma: 83 109 140

olv\*Ma: 0.0 1.0 0.0

Dreiecks-Helligkeit  $t^*$



TLS00; adaptierte CIELAB-Daten

	$L^*=L^*_a$	$a^*_a$	$b^*_a$	$C^*_{ab,a}$	$h^*_{ab,a}$
O <sub>Ma</sub>	54.19	79.36	63.0	101.33	38
Y <sub>Ma</sub>	93.44	-14.18	82.59	83.8	100
L <sub>Ma</sub>	82.82	-83.73	70.41	109.41	140
C <sub>Ma</sub>	85.22	-55.9	-15.78	58.1	196
V <sub>Ma</sub>	25.61	67.05	-108.87	127.87	302
M <sub>Ma</sub>	58.76	91.18	-53.69	105.82	330
N <sub>Ma</sub>	0.01	0.0	0.0	0.0	0
W <sub>Ma</sub>	95.41	0.0	0.0	0.0	0
R <sub>CIE</sub>	41.88	62.0	31.82	69.69	27
J <sub>CIE</sub>	81.97	1.81	71.59	71.61	89
G <sub>CIE</sub>	51.62	-41.11	11.52	42.7	164
B <sub>CIE</sub>	29.2	-5.27	-49.33	49.62	264

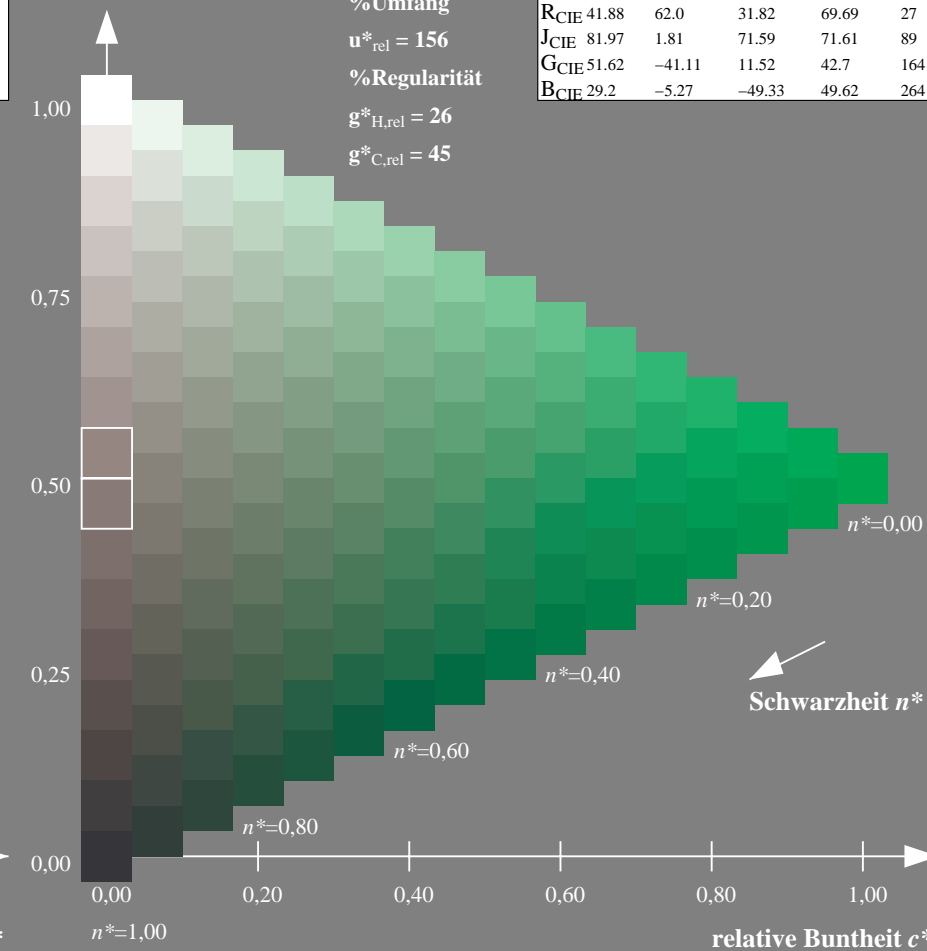
%Umfang

$u^*_{rel} = 156$

%Regularität

$g^*_{H,rel} = 26$

$g^*_{C,rel} = 45$



Siehe ähnliche Dateien: <http://www.ps.bam.de/QG90/>  
 Technische Information: <http://www.ps.bam.de> Version 2.1, io=0,0

BAM-Registrierung: 20060101-QG90/10Q/Q90G02NP.PS/.PDF BAM-Material: Code=rh4ta  
 Anwendung für Beurteilung und Messung von Drucker- oder Monitorssystemen  
 /QG90/ Form: 3/10, Serie: 1/1, Seite: 3  
 Seitenzahl: 3

QG900-7, 9stufige Reihen für konstanten CIELAB Buntton 151/360 = 0.42 (links)

16stufige Reihen für konstanten CIELAB Buntton 140/360 = 0.389 (rechts)

BAM-Prüfvorlage QG90; Farbmetrik-Systeme ORS18 & TLS00 input: *cmY0\* setcmykcolor*

D50: 9 und 16stufige Farbreihen für 10 Bunttöne

output: *no change compared to input*

Eingabe: Farbmimetrisches Offset-Reflektiv-System ORS18

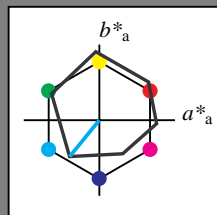
für Buntton  $h^* = lab^*h = 231/360 = 0.641$

$lab^*tch$  und  $lab^*nch$

D50: Buntton C

LCH\*Ma: 57 62 231

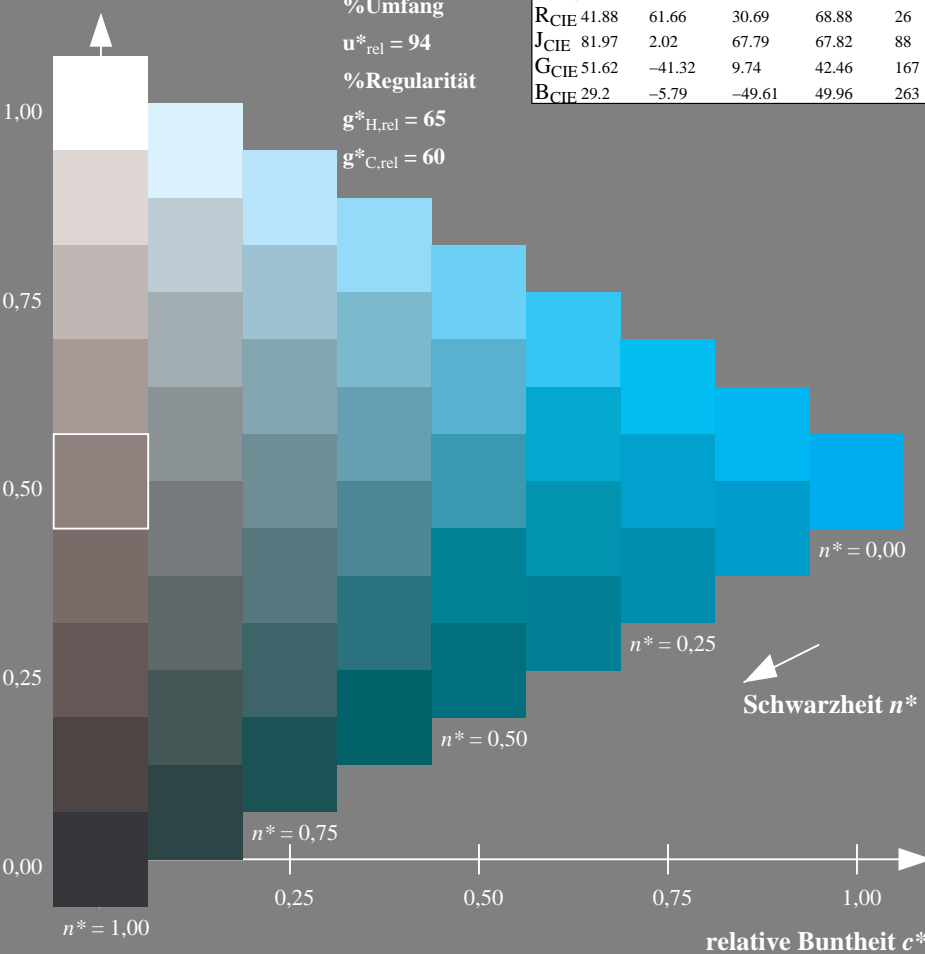
olv\*Ma: 0.0 1.0 1.0



ORS18; adaptierte CIELAB-Daten

	$L^*=L^*_a$	$a^*_a$	$b^*_a$	$C^*_{ab,a}$	$h^*_{ab,a}$
O <sub>Ma</sub>	47.94	65.05	50.54	82.38	38
Y <sub>Ma</sub>	91.0	-4.72	90.58	90.7	93
L <sub>Ma</sub>	50.9	-63.18	34.98	72.22	151
C <sub>Ma</sub>	56.99	-39.34	-48.1	62.16	231
V <sub>Ma</sub>	25.72	30.89	-44.4	54.09	305
M <sub>Ma</sub>	49.99	75.76	-4.64	75.9	356
N <sub>Ma</sub>	18.09	0.0	0.0	0.0	0
W <sub>Ma</sub>	95.46	0.0	0.0	0.0	0
R <sub>CIE</sub>	41.88	61.66	30.69	68.88	26
J <sub>CIE</sub>	81.97	2.02	67.79	67.82	88
G <sub>CIE</sub>	51.62	-41.32	9.74	42.46	167
B <sub>CIE</sub>	29.2	-5.79	-49.61	49.96	263

Dreiecks-Helligkeit  $t^*$



Ausgabe: Farbmimetrisches Fernseh-Licht-System TLS00

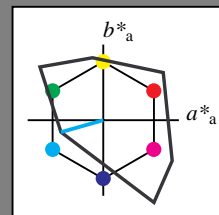
für Buntton  $h^* = lab^*h = 196/360 = 0.544$

$lab^*tch$  und  $lab^*nch$

D50: Buntton C

LCH\*Ma: 85 58 196

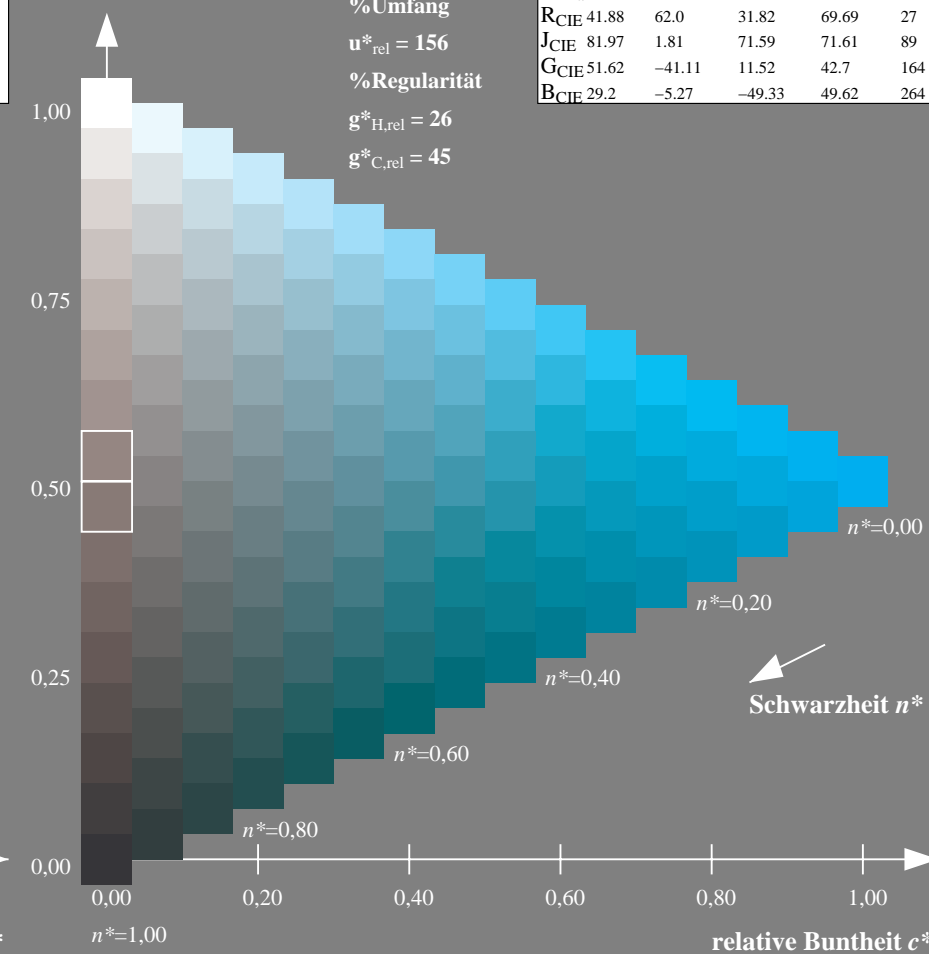
olv\*Ma: 0.0 1.0 1.0



TLS00; adaptierte CIELAB-Daten

	$L^*=L^*_a$	$a^*_a$	$b^*_a$	$C^*_{ab,a}$	$h^*_{ab,a}$
O <sub>Ma</sub>	54.19	79.36	63.0	101.33	38
Y <sub>Ma</sub>	93.44	-14.18	82.59	83.8	100
L <sub>Ma</sub>	82.82	-83.73	70.41	109.41	140
C <sub>Ma</sub>	85.22	-55.9	-15.78	58.1	196
V <sub>Ma</sub>	25.61	67.05	-108.87	127.87	302
M <sub>Ma</sub>	58.76	91.18	-53.69	105.82	330
N <sub>Ma</sub>	0.01	0.0	0.0	0.0	0
W <sub>Ma</sub>	95.41	0.0	0.0	0.0	0
R <sub>CIE</sub>	41.88	62.0	31.82	69.69	27
J <sub>CIE</sub>	81.97	1.81	71.59	71.61	89
G <sub>CIE</sub>	51.62	-41.11	11.52	42.7	164
B <sub>CIE</sub>	29.2	-5.27	-49.33	49.62	264

Dreiecks-Helligkeit  $t^*$



QG900-7, 9stufige Reihen für konstanten CIELAB Buntton 231/360 = 0.641 (links)

16stufige Reihen für konstanten CIELAB Buntton 196/360 = 0.544 (rechts)

BAM-Prüfvorlage QG90; Farbmimetrik-Systeme ORS18 & TLS00 input: *cmY0\* setcmykcolor*

D50: 9 und 16stufige Farbreihen für 10 Bunttöne

output: *no change compared to input*

Siehe ähnliche Dateien: <http://www.ps.bam.de/QG90/>  
 Technische Information: <http://www.ps.bam.de> Version 2.1, io=0,0

BAM-Registrierung: 20060101-QG90/10Q/Q90G03NP.PS/.PDF BAM-Material: Code=rh4ta  
 Anwendung für Beurteilung und Messung von Drucker- oder Monitorssystemen  
 /QG90/ Form: 4/0, Serie: 1/1, Seite: 4  
 Seitenhang 4

Eingabe: Farbmétrisches Offset-Reflektiv-System ORS18

für Buntton  $h^* = lab^*h = 305/360 = 0.847$

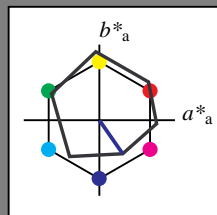
$lab^*tch$  und  $lab^*nch$

D50: Buntton V

LCH\*Ma: 26 54 305

olv\*Ma: 0.0 0.0 1.0

Dreiecks-Helligkeit  $t^*$



ORS18; adaptierte CIELAB-Daten

	$L^*=L^*_a$	$a^*_a$	$b^*_a$	$C^*_{ab,a}$	$h^*_{ab,a}$
O <sub>Ma</sub>	47.94	65.05	50.54	82.38	38
Y <sub>Ma</sub>	91.0	-4.72	90.58	90.7	93
L <sub>Ma</sub>	50.9	-63.18	34.98	72.22	151
C <sub>Ma</sub>	56.99	-39.34	-48.1	62.16	231
V <sub>Ma</sub>	25.72	30.89	-44.4	54.09	305
M <sub>Ma</sub>	49.99	75.76	-4.64	75.9	356
N <sub>Ma</sub>	18.09	0.0	0.0	0.0	0
W <sub>Ma</sub>	95.46	0.0	0.0	0.0	0
R <sub>CIE</sub>	41.88	61.66	30.69	68.88	26
J <sub>CIE</sub>	81.97	2.02	67.79	67.82	88
G <sub>CIE</sub>	51.62	-41.32	9.74	42.46	167
B <sub>CIE</sub>	29.2	-5.79	-49.61	49.96	263

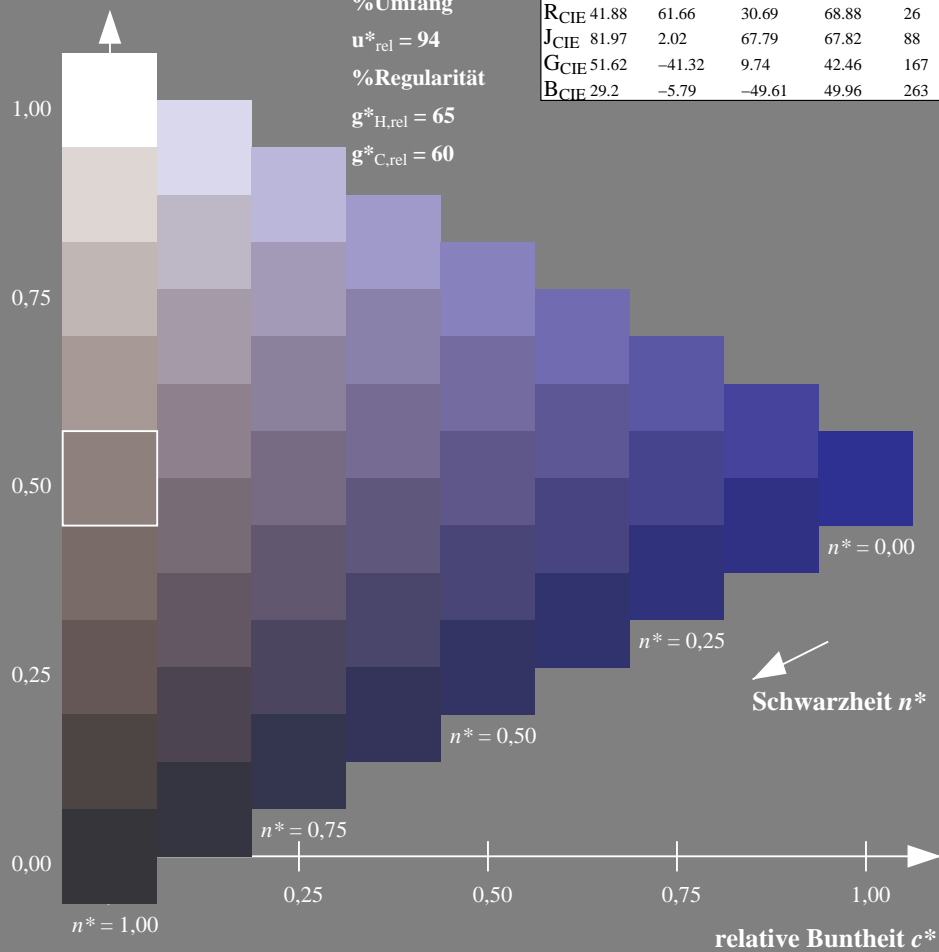
%Umfang

$u^*_{rel} = 94$

%Regularität

$g^*_{H,rel} = 65$

$g^*_{C,rel} = 60$



Ausgabe: Farbmétrisches Fernseh-Licht-System TLS00

für Buntton  $h^* = lab^*h = 302/360 = 0.838$

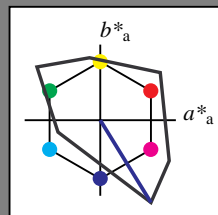
$lab^*tch$  und  $lab^*nch$

D50: Buntton V

LCH\*Ma: 26 128 302

olv\*Ma: 0.0 0.0 1.0

Dreiecks-Helligkeit  $t^*$



TLS00; adaptierte CIELAB-Daten

	$L^*=L^*_a$	$a^*_a$	$b^*_a$	$C^*_{ab,a}$	$h^*_{ab,a}$
O <sub>Ma</sub>	54.19	79.36	63.0	101.33	38
Y <sub>Ma</sub>	93.44	-14.18	82.59	83.8	100
L <sub>Ma</sub>	82.82	-83.73	70.41	109.41	140
C <sub>Ma</sub>	85.22	-55.9	-15.78	58.1	196
V <sub>Ma</sub>	25.61	67.05	-108.87	127.87	302
M <sub>Ma</sub>	58.76	91.18	-53.69	105.82	330
N <sub>Ma</sub>	0.01	0.0	0.0	0.0	0
W <sub>Ma</sub>	95.41	0.0	0.0	0.0	0
R <sub>CIE</sub>	41.88	62.0	31.82	69.69	27
J <sub>CIE</sub>	81.97	1.81	71.59	71.61	89
G <sub>CIE</sub>	51.62	-41.11	11.52	42.7	164
B <sub>CIE</sub>	29.2	-5.27	-49.33	49.62	264

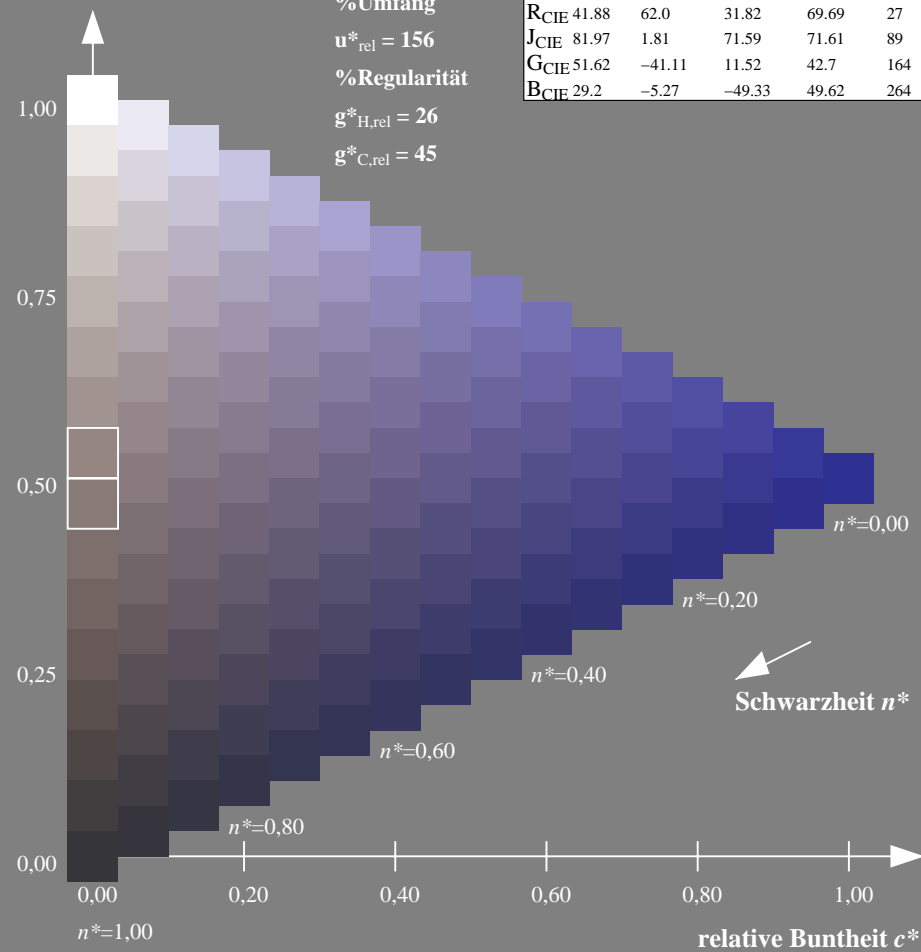
%Umfang

$u^*_{rel} = 156$

%Regularität

$g^*_{H,rel} = 26$

$g^*_{C,rel} = 45$



QG900-7, 9stufige Reihen für konstanten CIELAB Buntton 305/360 = 0.847 (links)

16stufige Reihen für konstanten CIELAB Buntton 302/360 = 0.838 (rechts)

BAM-Prüfvorlage QG90; Farbmétrik-Systeme ORS18 & TLS00 input:  $cmY^* setcmykcolor$

D50: 9 und 16stufige Farbreihen für 10 Bunttöne

output: no change compared to input

Siehe ähnliche Dateien: <http://www.ps.bam.de/QG90/>  
 Technische Information: <http://www.ps.bam.de> Version 2.1, io=0,0

BAM-Registrierung: 20060101-QG90/10Q/Q90G04NP.PS/.PDF BAM-Material: Code=rh4ta  
 Anwendung für Beurteilung und Messung von Drucker- oder Monitorssystemen  
 /QG90/ Form: 5/10, Serie: 1/1, Seite: 5  
 Seitenlung 5

Eingabe: Farbmétrisches Offset-Reflektiv-System ORS18

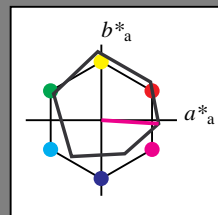
für Buntton  $h^* = lab^*h = 356/360 = 0.99$

$lab^*tch$  und  $lab^*nch$

D50: Buntton M

LCH\*Ma: 50 76 356

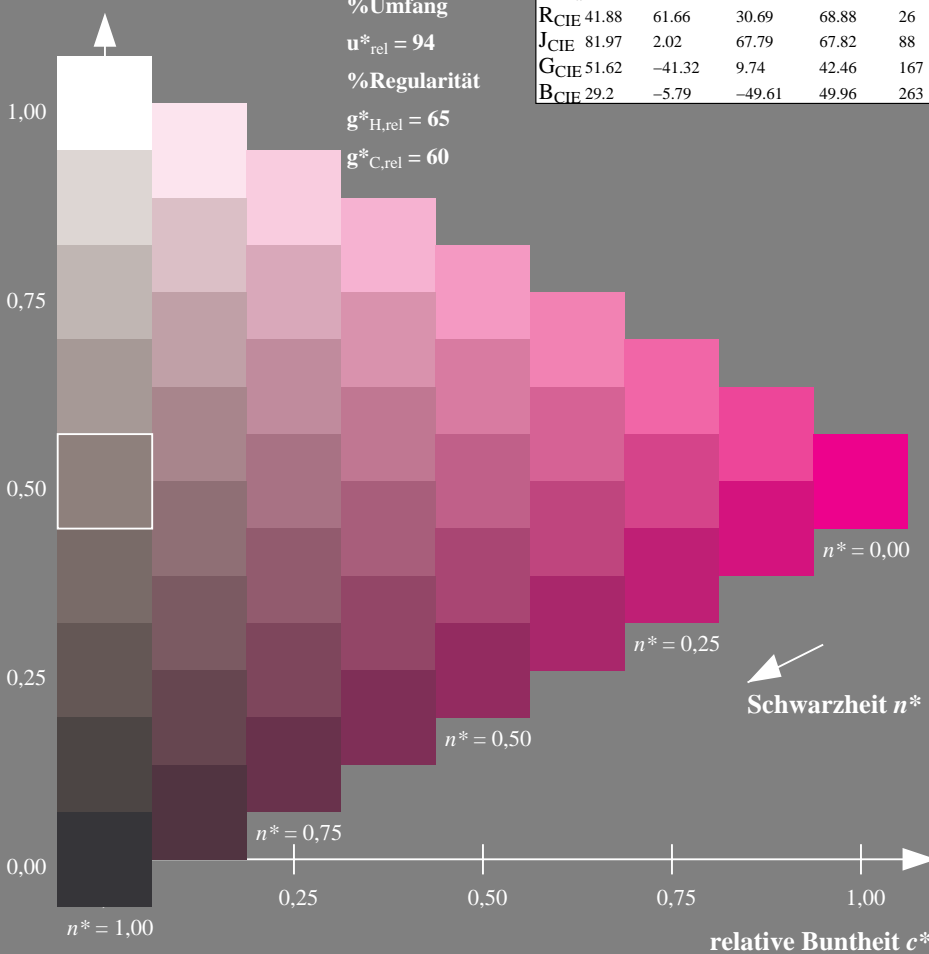
olv\*Ma: 1.0 0.0 1.0



ORS18; adaptierte CIELAB-Daten

	$L^*=L^*_a$	$a^*_a$	$b^*_a$	$C^*_{ab,a}$	$h^*_{ab,a}$
O <sub>Ma</sub>	47.94	65.05	50.54	82.38	38
Y <sub>Ma</sub>	91.0	-4.72	90.58	90.7	93
L <sub>Ma</sub>	50.9	-63.18	34.98	72.22	151
C <sub>Ma</sub>	56.99	-39.34	-48.1	62.16	231
V <sub>Ma</sub>	25.72	30.89	-44.4	54.09	305
M <sub>Ma</sub>	49.99	75.76	-4.64	75.9	356
N <sub>Ma</sub>	18.09	0.0	0.0	0.0	0
W <sub>Ma</sub>	95.46	0.0	0.0	0.0	0
R <sub>CIE</sub>	41.88	61.66	30.69	68.88	26
J <sub>CIE</sub>	81.97	2.02	67.79	67.82	88
G <sub>CIE</sub>	51.62	-41.32	9.74	42.46	167
B <sub>CIE</sub>	29.2	-5.79	-49.61	49.96	263

Dreiecks-Helligkeit  $t^*$



%Umfang

$u^*_{rel} = 94$

%Regularität

$g^*_{H,rel} = 65$

$g^*_{C,rel} = 60$

Ausgabe: Farbmétrisches Fernseh-Licht-System TLS00

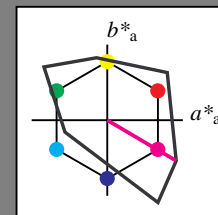
für Buntton  $h^* = lab^*h = 330/360 = 0.915$

$lab^*tch$  und  $lab^*nch$

D50: Buntton M

LCH\*Ma: 59 106 330

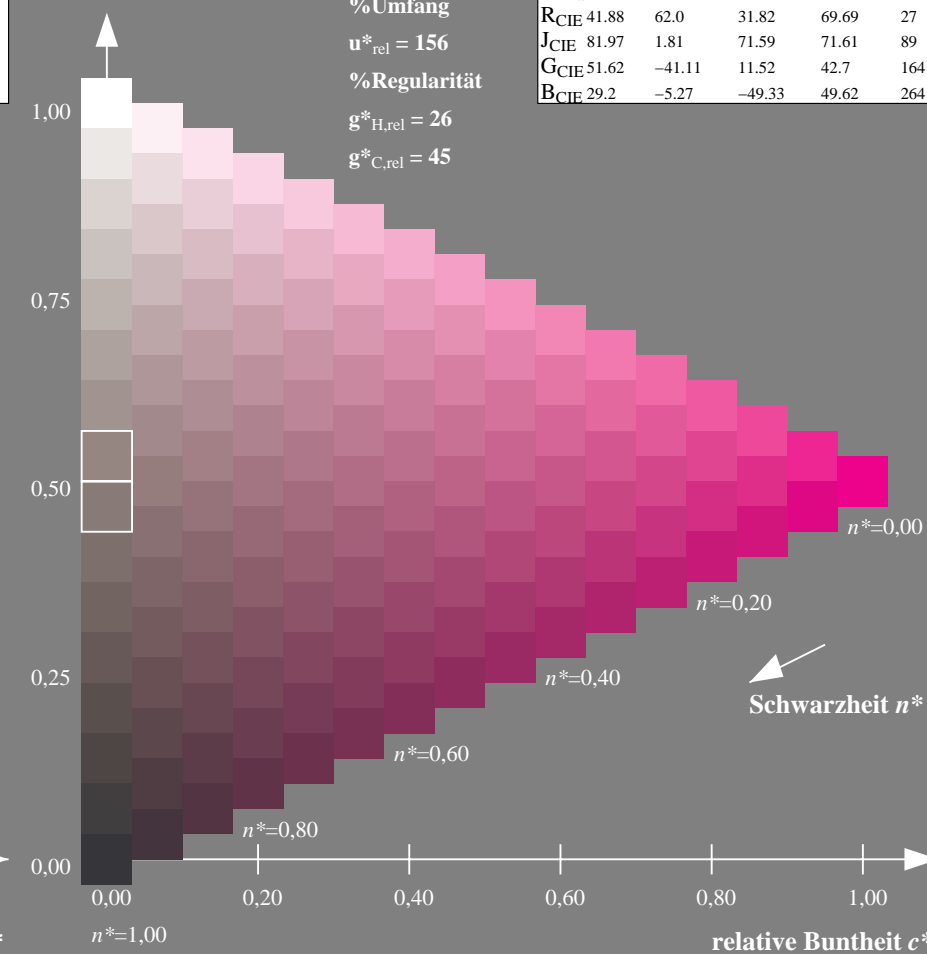
olv\*Ma: 1.0 0.0 1.0



TLS00; adaptierte CIELAB-Daten

	$L^*=L^*_a$	$a^*_a$	$b^*_a$	$C^*_{ab,a}$	$h^*_{ab,a}$
O <sub>Ma</sub>	54.19	79.36	63.0	101.33	38
Y <sub>Ma</sub>	93.44	-14.18	82.59	83.8	100
L <sub>Ma</sub>	82.82	-83.73	70.41	109.41	140
C <sub>Ma</sub>	85.22	-55.9	-15.78	58.1	196
V <sub>Ma</sub>	25.61	67.05	-108.87	127.87	302
M <sub>Ma</sub>	58.76	91.18	-53.69	105.82	330
N <sub>Ma</sub>	0.01	0.0	0.0	0.0	0
W <sub>Ma</sub>	95.41	0.0	0.0	0.0	0
R <sub>CIE</sub>	41.88	62.0	31.82	69.69	27
J <sub>CIE</sub>	81.97	1.81	71.59	71.61	89
G <sub>CIE</sub>	51.62	-41.11	11.52	42.7	164
B <sub>CIE</sub>	29.2	-5.27	-49.33	49.62	264

Dreiecks-Helligkeit  $t^*$



%Umfang

$u^*_{rel} = 156$

%Regularität

$g^*_{H,rel} = 26$

$g^*_{C,rel} = 45$

QG900-7, 9stufige Reihen für konstanten CIELAB Buntton 356/360 = 0.99 (links)

16stufige Reihen für konstanten CIELAB Buntton 330/360 = 0.915 (rechts)

BAM-Prüfvorlage QG90; Farbmétrik-Systeme ORS18 & TLS00 input: *cmY0\** *setcmYcolor*

D50: 9 und 16stufige Farbreihen für 10 Bunttöne

output: *no change compared to input*

Siehe ähnliche Dateien: <http://www.ps.bam.de/QG90/>  
 Technische Information: <http://www.ps.bam.de> Version 2.1, io=0,0

BAM-Registrierung: 20060101-QG90/10Q/Q90G05NP.PS/.PDF BAM-Material: Code=rh4ta  
 Anwendung für Beurteilung und Messung von Drucker- oder Monitorssystemen  
 /QG90/ Form: 6/10, Serie: 1/1, Seite: 6  
 Seitenzahl: 6

Eingabe: Farbmimetrisches Offset-Reflektiv-System ORS18

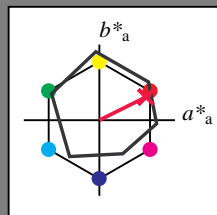
für Buntton  $h^* = lab^*h = 26/360 = 0.074$

$lab^*tch$  und  $lab^*nch$

D50: Buntton R

LCH\*Ma: 49 76 26

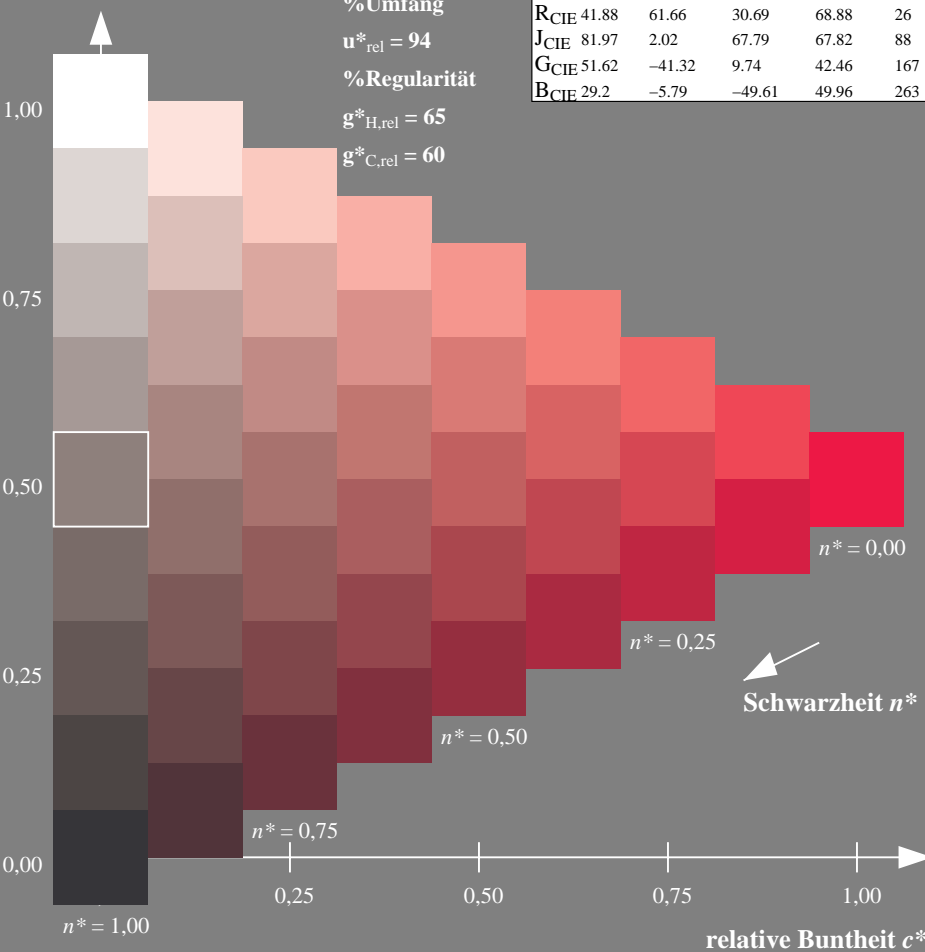
olv\*Ma: 1.0 0.0 0.3



ORS18; adaptierte CIELAB-Daten

	$L^*=L^*_a$	$a^*_a$	$b^*_a$	$C^*_{ab,a}$	$h^*_{ab,a}$
O <sub>Ma</sub>	47.94	65.05	50.54	82.38	38
Y <sub>Ma</sub>	91.0	-4.72	90.58	90.7	93
L <sub>Ma</sub>	50.9	-63.18	34.98	72.22	151
C <sub>Ma</sub>	56.99	-39.34	-48.1	62.16	231
V <sub>Ma</sub>	25.72	30.89	-44.4	54.09	305
M <sub>Ma</sub>	49.99	75.76	-4.64	75.9	356
N <sub>Ma</sub>	18.09	0.0	0.0	0.0	0
W <sub>Ma</sub>	95.46	0.0	0.0	0.0	0
R <sub>CIE</sub>	41.88	61.66	30.69	68.88	26
J <sub>CIE</sub>	81.97	2.02	67.79	67.82	88
G <sub>CIE</sub>	51.62	-41.32	9.74	42.46	167
B <sub>CIE</sub>	29.2	-5.79	-49.61	49.96	263

Dreiecks-Helligkeit  $t^*$



Ausgabe: Farbmimetrisches Fernseh-Licht-System TLS00

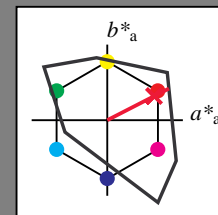
für Buntton  $h^* = lab^*h = 27/360 = 0.075$

$lab^*tch$  und  $lab^*nch$

D50: Buntton R

LCH\*Ma: 55 92 27

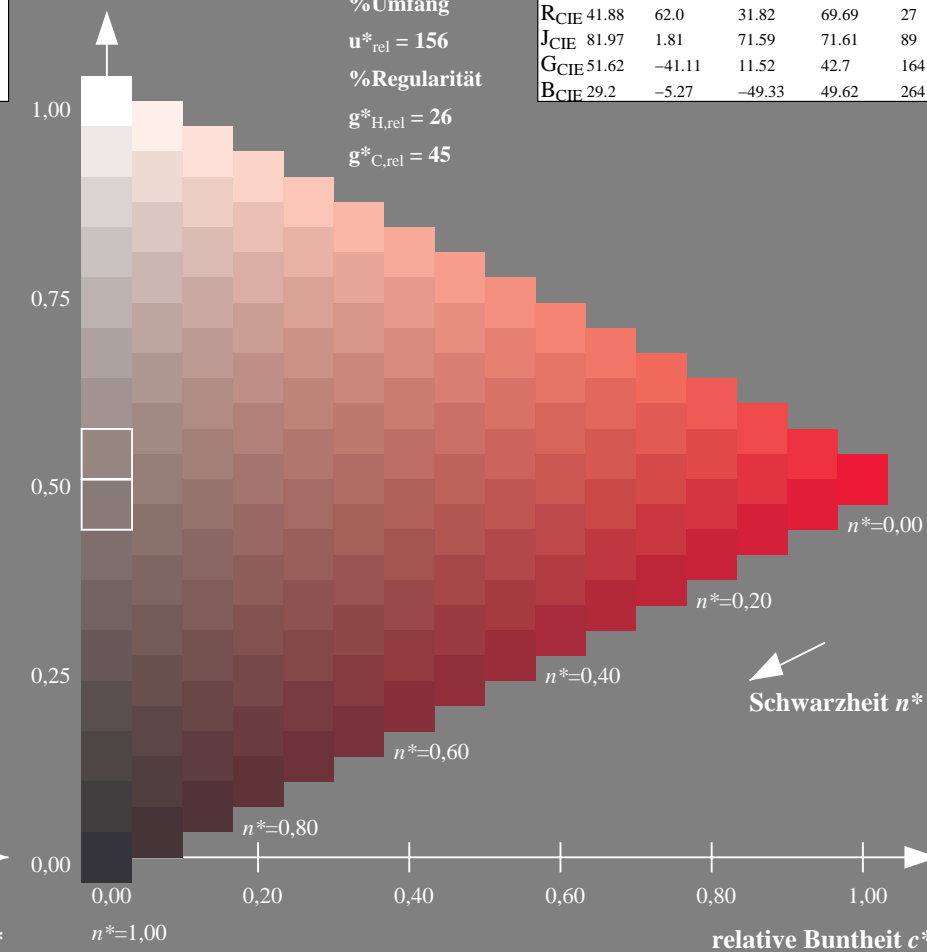
olv\*Ma: 1.0 0.0 0.18



TLS00; adaptierte CIELAB-Daten

	$L^*=L^*_a$	$a^*_a$	$b^*_a$	$C^*_{ab,a}$	$h^*_{ab,a}$
O <sub>Ma</sub>	54.19	79.36	63.0	101.33	38
Y <sub>Ma</sub>	93.44	-14.18	82.59	83.8	100
L <sub>Ma</sub>	82.82	-83.73	70.41	109.41	140
C <sub>Ma</sub>	85.22	-55.9	-15.78	58.1	196
V <sub>Ma</sub>	25.61	67.05	-108.87	127.87	302
M <sub>Ma</sub>	58.76	91.18	-53.69	105.82	330
N <sub>Ma</sub>	0.01	0.0	0.0	0.0	0
W <sub>Ma</sub>	95.41	0.0	0.0	0.0	0
R <sub>CIE</sub>	41.88	62.0	31.82	69.69	27
J <sub>CIE</sub>	81.97	1.81	71.59	71.61	89
G <sub>CIE</sub>	51.62	-41.11	11.52	42.7	164
B <sub>CIE</sub>	29.2	-5.27	-49.33	49.62	264

Dreiecks-Helligkeit  $t^*$



QG900-7, 9stufige Reihen für konstanten CIELAB Buntton 26/360 = 0.074 (links)

16stufige Reihen für konstanten CIELAB Buntton 27/360 = 0.075 (rechts)

BAM-Prüfvorlage QG90; Farbmimetrik-Systeme ORS18 & TLS00 input:  $cmY0^*$  setcmykcolor

D50: 9 und 16stufige Farbreihen für 10 Bunttöne

output: no change compared to input

BAM-Registrierung: 20060101-QG90/10Q/Q90G06NP.PS/.PDF BAM-Material: Code=rh4ta  
 Anwendung für Beurteilung und Messung von Drucker- oder Monitorssystemen  
 /QG90/ Form: 7/10, Serie: 1/1, Seite: 7  
 Seitenhang 7

Siehe ähnliche Dateien: <http://www.ps.bam.de/QG90/>  
 Technische Information: <http://www.ps.bam.de> Version 2.1, io=0,0

Eingabe: Farbmetrisches Offset-Reflektiv-System ORS18

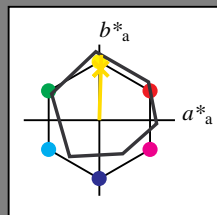
für Buntton  $h^* = lab^*h = 88/360 = 0.245$

$lab^*tch$  und  $lab^*nch$

D50: Buntton J

LCH\*Ma: 86 86 88

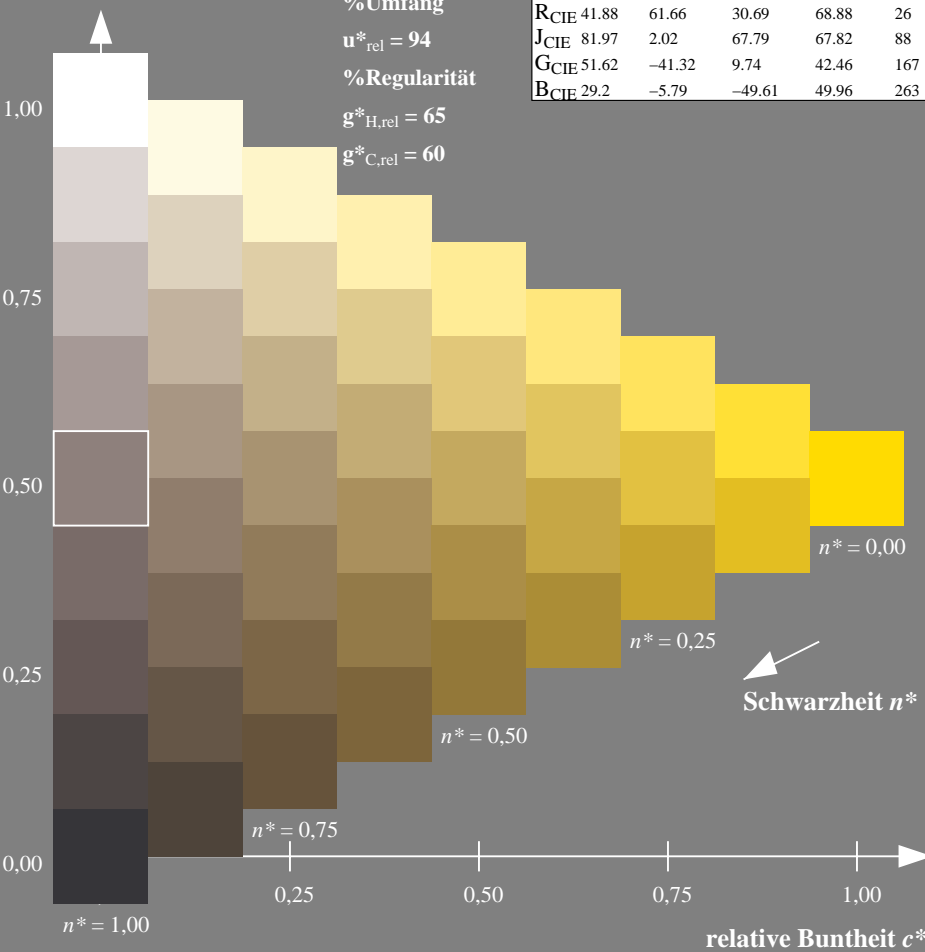
olv\*Ma: 1.0 0.9 0.0



ORS18; adaptierte CIELAB-Daten

	$L^*=L^*_a$	$a^*_a$	$b^*_a$	$C^*_{ab,a}$	$h^*_{ab,a}$
O <sub>Ma</sub>	47.94	65.05	50.54	82.38	38
Y <sub>Ma</sub>	91.0	-4.72	90.58	90.7	93
L <sub>Ma</sub>	50.9	-63.18	34.98	72.22	151
C <sub>Ma</sub>	56.99	-39.34	-48.1	62.16	231
V <sub>Ma</sub>	25.72	30.89	-44.4	54.09	305
M <sub>Ma</sub>	49.99	75.76	-4.64	75.9	356
N <sub>Ma</sub>	18.09	0.0	0.0	0.0	0
W <sub>Ma</sub>	95.46	0.0	0.0	0.0	0
R <sub>CIE</sub>	41.88	61.66	30.69	68.88	26
J <sub>CIE</sub>	81.97	2.02	67.79	67.82	88
G <sub>CIE</sub>	51.62	-41.32	9.74	42.46	167
B <sub>CIE</sub>	29.2	-5.79	-49.61	49.96	263

Dreiecks-Helligkeit  $t^*$



%Umfang

$u^*_{rel} = 94$

%Regularität

$g^*_{H,rel} = 65$

$g^*_{C,rel} = 60$

Ausgabe: Farbmetrisches Fernseh-Licht-System TLS00

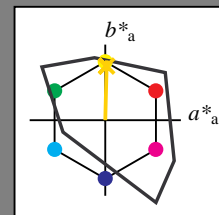
für Buntton  $h^* = lab^*h = 89/360 = 0.246$

$lab^*tch$  und  $lab^*nch$

D50: Buntton J

LCH\*Ma: 87 79 89

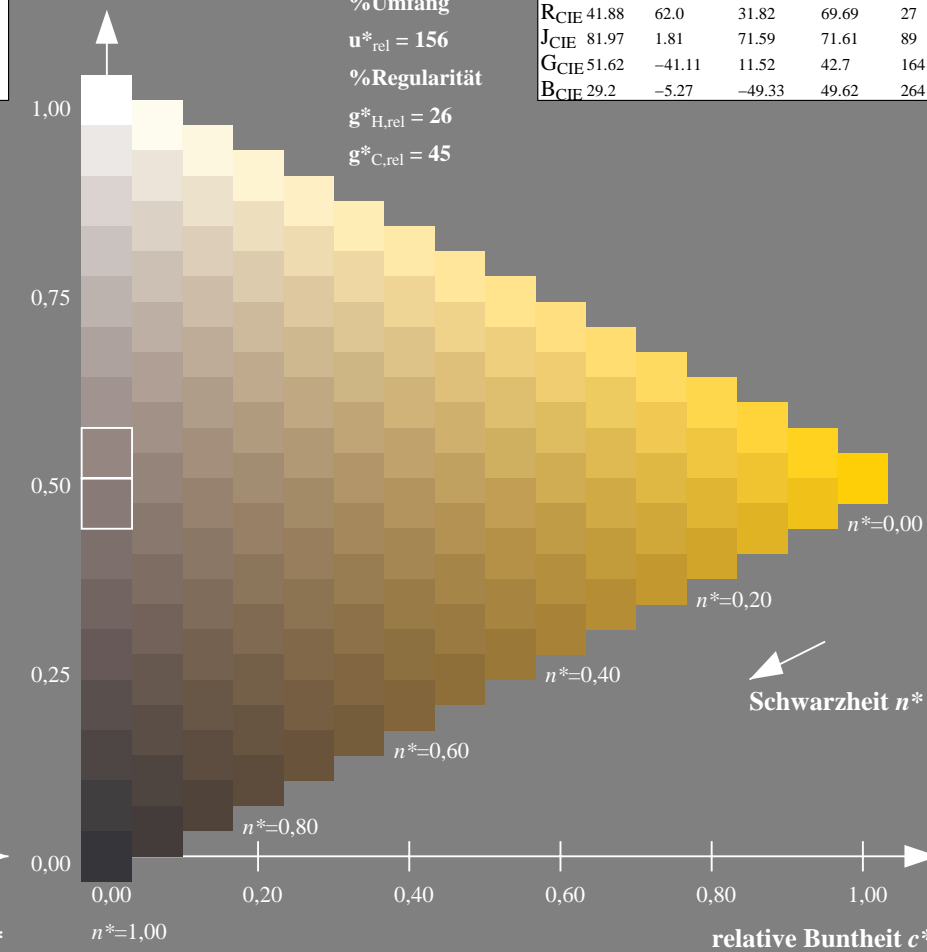
olv\*Ma: 1.0 0.83 0.0



TLS00; adaptierte CIELAB-Daten

	$L^*=L^*_a$	$a^*_a$	$b^*_a$	$C^*_{ab,a}$	$h^*_{ab,a}$
O <sub>Ma</sub>	54.19	79.36	63.0	101.33	38
Y <sub>Ma</sub>	93.44	-14.18	82.59	83.8	100
L <sub>Ma</sub>	82.82	-83.73	70.41	109.41	140
C <sub>Ma</sub>	85.22	-55.9	-15.78	58.1	196
V <sub>Ma</sub>	25.61	67.05	-108.87	127.87	302
M <sub>Ma</sub>	58.76	91.18	-53.69	105.82	330
N <sub>Ma</sub>	0.01	0.0	0.0	0.0	0
W <sub>Ma</sub>	95.41	0.0	0.0	0.0	0
R <sub>CIE</sub>	41.88	62.0	31.82	69.69	27
J <sub>CIE</sub>	81.97	1.81	71.59	71.61	89
G <sub>CIE</sub>	51.62	-41.11	11.52	42.7	164
B <sub>CIE</sub>	29.2	-5.27	-49.33	49.62	264

Dreiecks-Helligkeit  $t^*$



%Umfang

$u^*_{rel} = 156$

%Regularität

$g^*_{H,rel} = 26$

$g^*_{C,rel} = 45$

QG900-7, 9stufige Reihen für konstanten CIELAB Buntton 88/360 = 0.245 (links)

16stufige Reihen für konstanten CIELAB Buntton 89/360 = 0.246 (rechts)

BAM-Prüfvorlage QG90; Farbmetrik-Systeme ORS18 & TLS00 input:  $cmy0^*$  setcmycolor

D50: 9 und 16stufige Farbreihen für 10 Bunttöne

output: no change compared to input

Siehe ähnliche Dateien: <http://www.ps.bam.de/QG90/>  
 Technische Information: <http://www.ps.bam.de> Version 2.1, io=0,0

BAM-Registrierung: 20060101-QG90/10Q/Q90G07NP.PS/.PDF BAM-Material: Code=rh4ta  
 Anwendung für Beurteilung und Messung von Drucker- oder Monitorssystemen  
 /QG90/ Form: 8/10, Serie: 1/1, Seite: 8  
 Seitenzahl 8



Eingabe: Farbmimetrisches Offset-Reflektiv-System ORS18

für Buntton  $h^* = lab^*h = 167/360 = 0.463$

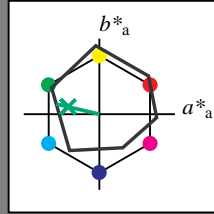
$lab^*tch$  und  $lab^*nch$

D50: Buntton G

LCH\*Ma: 52 59 167

olv\*Ma: 0.0 1.0 0.26

Dreiecks-Helligkeit  $t^*$



ORS18; adaptierte CIELAB-Daten

	$L^*=L^*_a$	$a^*_a$	$b^*_a$	$C^*_{ab,a}$	$h^*_{ab,a}$
OMa	47.94	65.05	50.54	82.38	38
YMa	91.0	-4.72	90.58	90.7	93
LMa	50.9	-63.18	34.98	72.22	151
CMa	56.99	-39.34	-48.1	62.16	231
VMa	25.72	30.89	-44.4	54.09	305
MMa	49.99	75.76	-4.64	75.9	356
NMa	18.09	0.0	0.0	0.0	0
WMa	95.46	0.0	0.0	0.0	0
RCIE	41.88	61.66	30.69	68.88	26
JCIE	81.97	2.02	67.79	67.82	88
GCIE	51.62	-41.32	9.74	42.46	167
BCIE	29.2	-5.79	-49.61	49.96	263

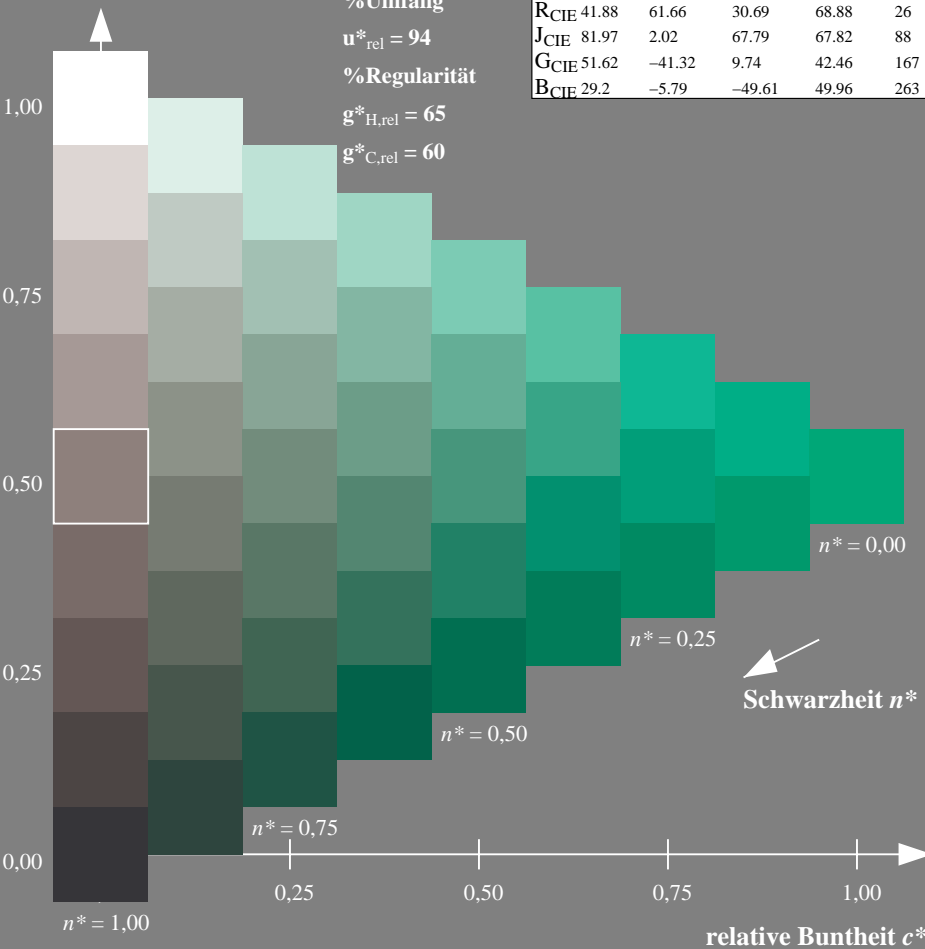
%Umfang

$u^*_{rel} = 94$

%Regularität

$g^*_{H,rel} = 65$

$g^*_{C,rel} = 60$



Ausgabe: Farbmimetrisches Fernseh-Licht-System TLS00

für Buntton  $h^* = lab^*h = 164/360 = 0.457$

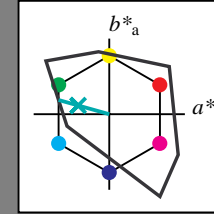
$lab^*tch$  und  $lab^*nch$

D50: Buntton G

LCH\*Ma: 84 70 164

olv\*Ma: 0.0 1.0 0.6

Dreiecks-Helligkeit  $t^*$



TLS00; adaptierte CIELAB-Daten

	$L^*=L^*_a$	$a^*_a$	$b^*_a$	$C^*_{ab,a}$	$h^*_{ab,a}$
OMa	54.19	79.36	63.0	101.33	38
YMa	93.44	-14.18	82.59	83.8	100
LMa	82.82	-83.73	70.41	109.41	140
CMa	85.22	-55.9	-15.78	58.1	196
VMa	25.61	67.05	-108.87	127.87	302
MMa	58.76	91.18	-53.69	105.82	330
NMa	0.01	0.0	0.0	0.0	0
WMa	95.41	0.0	0.0	0.0	0
RCIE	41.88	62.0	31.82	69.69	27
JCIE	81.97	1.81	71.59	71.61	89
GCIE	51.62	-41.11	11.52	42.7	164
BCIE	29.2	-5.27	-49.33	49.62	264

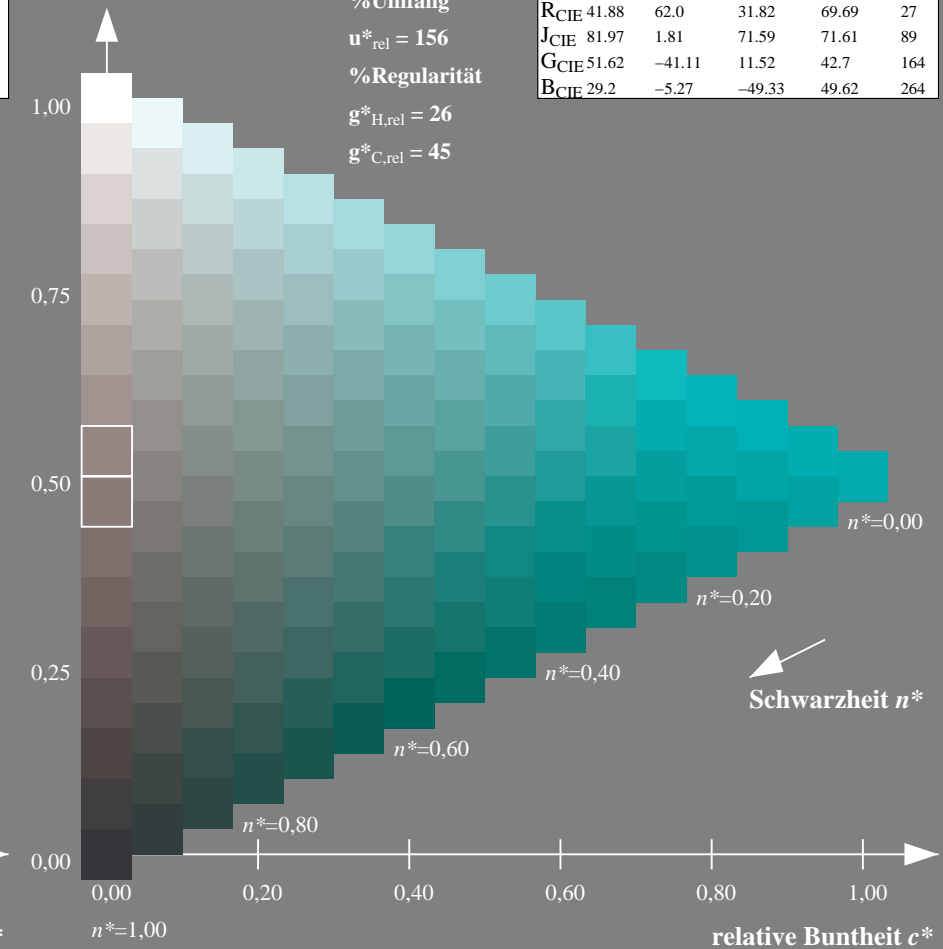
%Umfang

$u^*_{rel} = 156$

%Regularität

$g^*_{H,rel} = 26$

$g^*_{C,rel} = 45$



QG900-7, 9stufige Reihen für konstanten CIELAB Buntton 167/360 = 0.463 (links)

16stufige Reihen für konstanten CIELAB Buntton 164/360 = 0.457 (rechts)

BAM-Prüfvorlage QG90; Farbmimetrik-Systeme ORS18 & TLS00 input: *cmY0\* setcmykcolor*

D50: 9 und 16stufige Farbreihen für 10 Bunttöne

output: *no change compared to input*

Siehe ähnliche Dateien: <http://www.ps.bam.de/QG90/>  
 Technische Information: <http://www.ps.bam.de> Version 2.1, io=0,0

BAM-Registrierung: 20060101-QG90/10Q/Q90G08NP.PS/.PDF BAM-Material: Code=rh4ta  
 Anwendung für Beurteilung und Messung von Drucker- oder Monitorssystemen  
 /QG90/ Form: 9/10, Serie: 1/1, Seite: 9  
 Seitenhang 9

Eingabe: Farbmétrisches Offset-Reflektiv-System ORS18

für Buntton  $h^* = lab^*h = 263/360 = 0.731$

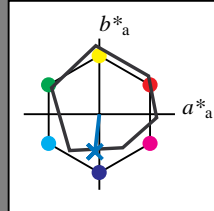
$lab^*tch$  und  $lab^*nch$

D50: Buntton B

LCH\*Ma: 42 47 263

olv\*Ma: 0.0 0.52 1.0

Dreiecks-Helligkeit  $t^*$



ORS18; adaptierte CIELAB-Daten

	$L^*=L^*_a$	$a^*_a$	$b^*_a$	$C^*_{ab,a}$	$h^*_{ab,a}$
O <sub>Ma</sub>	47.94	65.05	50.54	82.38	38
Y <sub>Ma</sub>	91.0	-4.72	90.58	90.7	93
L <sub>Ma</sub>	50.9	-63.18	34.98	72.22	151
C <sub>Ma</sub>	56.99	-39.34	-48.1	62.16	231
V <sub>Ma</sub>	25.72	30.89	-44.4	54.09	305
M <sub>Ma</sub>	49.99	75.76	-4.64	75.9	356
N <sub>Ma</sub>	18.09	0.0	0.0	0.0	0
W <sub>Ma</sub>	95.46	0.0	0.0	0.0	0
R <sub>CIE</sub>	41.88	61.66	30.69	68.88	26
J <sub>CIE</sub>	81.97	2.02	67.79	67.82	88
G <sub>CIE</sub>	51.62	-41.32	9.74	42.46	167
B <sub>CIE</sub>	29.2	-5.79	-49.61	49.96	263

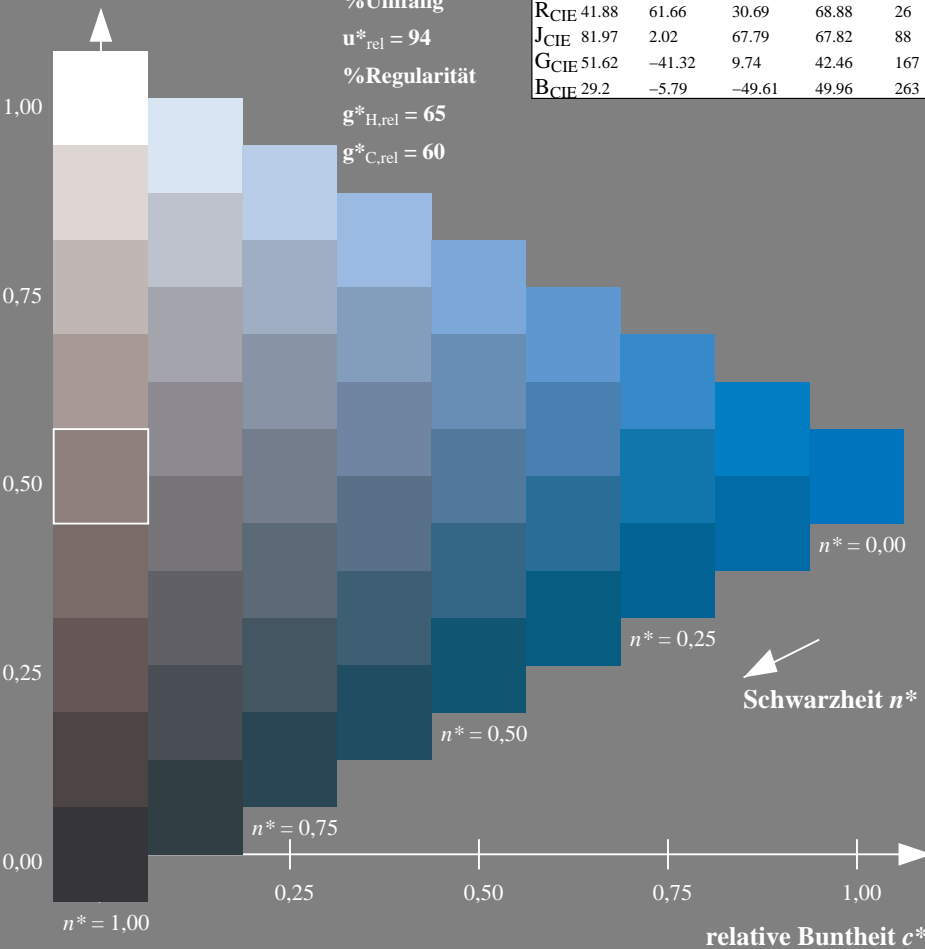
%Umfang

$u^*_{rel} = 94$

%Regularität

$g^*_{H,rel} = 65$

$g^*_{C,rel} = 60$



Ausgabe: Farbmétrisches Fernseh-Licht-System TLS00

für Buntton  $h^* = lab^*h = 264/360 = 0.733$

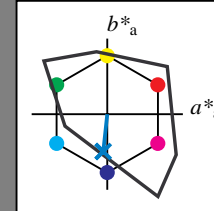
$lab^*tch$  und  $lab^*nch$

D50: Buntton B

LCH\*Ma: 61 54 264

olv\*Ma: 0.0 0.59 1.0

Dreiecks-Helligkeit  $t^*$



TLS00; adaptierte CIELAB-Daten

	$L^*=L^*_a$	$a^*_a$	$b^*_a$	$C^*_{ab,a}$	$h^*_{ab,a}$
O <sub>Ma</sub>	54.19	79.36	63.0	101.33	38
Y <sub>Ma</sub>	93.44	-14.18	82.59	83.8	100
L <sub>Ma</sub>	82.82	-83.73	70.41	109.41	140
C <sub>Ma</sub>	85.22	-55.9	-15.78	58.1	196
V <sub>Ma</sub>	25.61	67.05	-108.87	127.87	302
M <sub>Ma</sub>	58.76	91.18	-53.69	105.82	330
N <sub>Ma</sub>	0.01	0.0	0.0	0.0	0
W <sub>Ma</sub>	95.41	0.0	0.0	0.0	0
R <sub>CIE</sub>	41.88	62.0	31.82	69.69	27
J <sub>CIE</sub>	81.97	1.81	71.59	71.61	89
G <sub>CIE</sub>	51.62	-41.11	11.52	42.7	164
B <sub>CIE</sub>	29.2	-5.27	-49.33	49.62	264

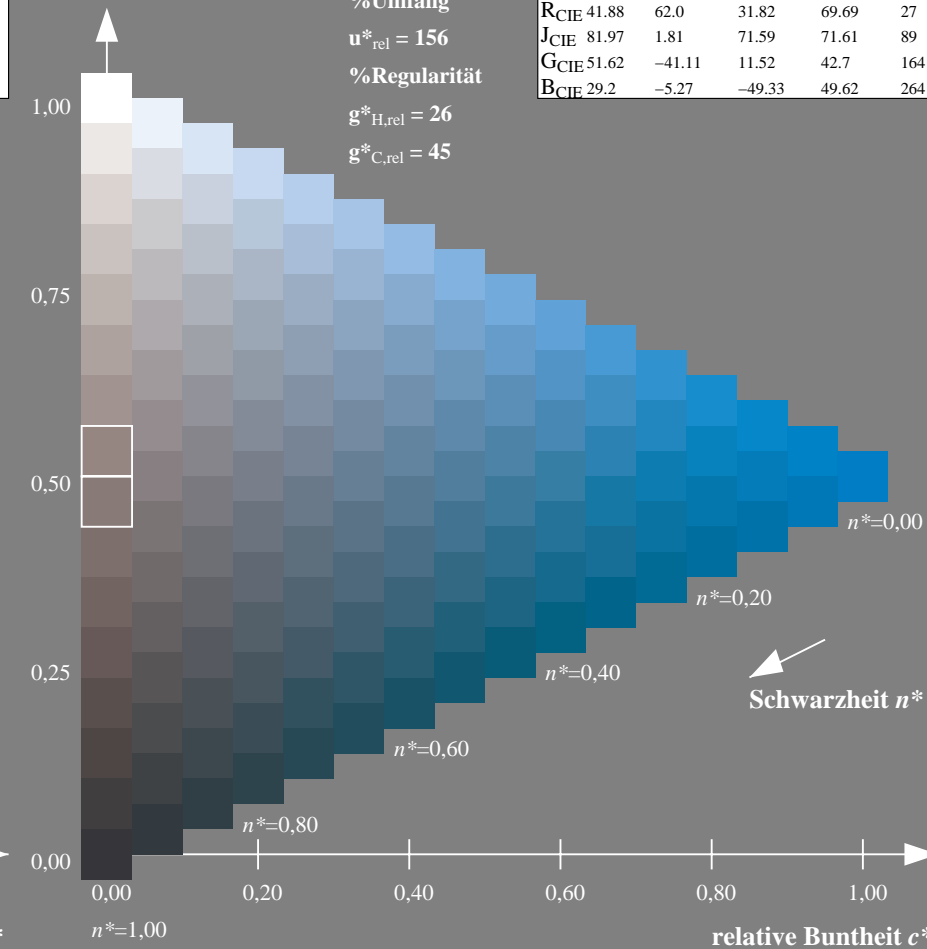
%Umfang

$u^*_{rel} = 156$

%Regularität

$g^*_{H,rel} = 26$

$g^*_{C,rel} = 45$



QG900-7, 9stufige Reihen für konstanten CIELAB Buntton 263/360 = 0.731 (links)

16stufige Reihen für konstanten CIELAB Buntton 264/360 = 0.733 (rechts)

BAM-Prüfvorlage QG90; Farbmétrik-Systeme ORS18 & TLS00 input: *cmY0\* setcmykcolor*

D50: 9 und 16stufige Farbreihen für 10 Bunttöne

output: *no change compared to input*

Siehe ähnliche Dateien: <http://www.ps.bam.de/QG90/>  
 Technische Information: <http://www.ps.bam.de> Version 2.1, io=0,0

BAM-Registrierung: 20060101-QG90/10Q/Q90G09NP.PS/.PDF BAM-Material: Code=rh4ta  
 Anwendung für Beurteilung und Messung von Drucker- oder Monitorssystemen  
 /QG90/ Form: 10105 Serie: 1/1, Seite: 10  
 Seitenzahl: 10